

طراحی اقتصادی - آماری یک نمودار کنترل به منظور پایش مدت زمان بقای بیماران

نوید رفیعی (دانشجوی دکتری)

سروین اسدزاده^{*} (استادیار)

گروه مهندسی صنایع، دانشکده فنی و هندسی، دانشگاه آزاد اسلامی، واحد تهران شمال

سیدتقوی اخوان نیاکی (استاد)

دانشکده هندسی صنایع، دانشگاه صنعتی شریف

در سال‌های اخیر استفاده از نمودارهای کنترل در سیستم‌های سلامت توجه محققین را به خود جلب کرده است. در این نوشتار طراحی یک نمودار کنترل جمع تجمعی تعديل ریسک شده برای پایش مدت زمان بقای بیماران پیشنهاد می‌شود. در این نمودار، تعديل ریسک با هدف در نظر گرفتن تأثیر ریسک‌ها قبل از عمل هر بیمار بر روی زمان بقای او انجام می‌گیرد. به منظور به کارگیری نمودار کنترل پیشنهادی لازم است پارامترهای طراحی به گونه‌ی تعیین شود که خواص مطابق اقتصادی و آماری به طور هم زمان برآورده شوند. از این رو، یک مدل چند‌هدفه پیشنهاد شده که حل آن توسط یک الگوریتم چندمرحله‌ی انجام می‌پذیرد. سپس، عملکرد رویکرد پیشنهادی در یک مرکز جراحی قابل مورد بررسی قرار گرفته است. در پایان، نتایج حاصله با مدل طراحی اقتصادی خالص مقایسه شده است که نتایج نشان می‌دهد طراحی چند‌هدفه نمودار کنترل با افزایش سبباً اندک هزینه، ویژگی‌های آماری بهتری دارد.

n.rafei@iau-tnb.ac.ir
sh.asadzadeh@iau-tnb.ac.ir
niaki@sharif.edu

واژگان کلیدی: نمودار کنترل جمع تجمعی، تعديل ریسک، مدل زمان شکست تسریع‌یافته، طراحی اقتصادی آماری، تحلیل پوششی داده‌ها.

۱. مقدمه

کشف و اصلاح انحراف با دلیل و هزینه‌های دریافت محصول معیوب توسط مشتری بود.^[۱] پس از آن، مطالعات قابل توجهی توسط سایر پژوهش‌گران صورت پذیرفت و تا امروز مقالات زیادی درباره‌ی طراحی اقتصادی نمودارهای کنترل به چاپ رسیده است. مدل معروف دیگر برای طراحی اقتصادی توسط لورنزن و ونس پیشنهاد شد که برخلاف مدل دانکن انعطاف‌پذیری بیشتری دارد. در این مدل به فرایند اجازه داده می‌شود که در طول جست‌وجو برای کشف و اصلاح انحراف با دلیل، متوقف شود یا به کار خود ادامه دهد.^[۲] در ادامه، زیانو و هلو^[۳] الگوریتمی برای طراحی بهینه‌ی نمودار کنترل جمع تجمعی به مظور شناسایی تغییرات در میانگین مشخصه‌ی کفی پیشنهاد دادند. الگوریتم پیشنهادی آنها از طریق کمینه‌سازی ارزش میانگین کلی تابع زیان تاگوچی، پارامترهای طراحی نمودار جمع تجمعی شامل اندازه نمونه، فاصله‌ی نمونه‌گیری، حد کنترل و امتیاز برتر را بهینه می‌کرد. لی^[۴] بر اساس مدل هزینه‌ی لورنزن و ونس و تلفیق آن با یک مدل همبستگی، طراحی اقتصادی نمودار جمع تجمعی را برای نظرارت فرایندی با نمونه‌های همبسته بررسی کرد و برای دست‌یابی به پارامترهای بهینه طراحی با کمترین هزینه، الگوریتم زنیک را به کار برد. سلانو و همکاران^[۵] به دلیل کافی نبودن مقدار طول دنباله نمونه‌ها در فاز اول کنترل، برای پایش دنباله تولیدات کوتاه‌مدت به طراحی اقتصادی نمودار کنترل جمع تجمعی t پرداختند. پارامترهای طراحی بهینه این نمودار با استفاده از یک الگوریتم بهینه‌سازی جامع

پایش سیستم‌های سلامت به بخش مهمی از بهداشت و درمان نوین تبدیل شده که موجب بهبود کیفیت خدمات جراحی و دیگر خدمات درمانی می‌شود. نمودارهای کنترل اصلی ترین ابزارهای پایش اثربخش در حوزه‌ی بهداشت و درمان هستند که از آنها برای تشخیص تغییرات در پارامترهای فرایند استفاده می‌شود. با این حال، یکی از بهترین نوع این نمودارها، نمودار کنترل جمع تجمعی (CUSUM)^[۶] است که در حوزه‌ی بهداشت و درمان برای پایش آماری و تشخیص تغییرات کوچک عملکرد بهتری دارد.^[۷] در استفاده از این نمودار برای پایش فرایند، تعیین چهار پارامتر ضروری است: اندازه نمونه، فاصله‌ی نمونه‌گیری، حدود کنترل و پارامتر طراحی شده برای تشخیص بهینه‌ی تغییری خاص در نمودار. انتخاب مجموعه‌ی از این پارامترها را «طراحی نمودار کنترل» می‌نامند. طراحی نمودار کنترل جنبه‌های اقتصادی و آماری متعدد دارد. اولین مدل طراحی اقتصادی توسط دانکن برای پایش میانگین یک فرایند طبیعی پیشنهاد شد: او پارامترهای نمودار را، زمانی که یک انحراف با دلیل وجود داشت، به گونه‌ی تعیین کرد که متوسط هزینه کمینه شود. مدل هزینه‌ی او شامل هزینه‌های نمونه‌گیری، هزینه‌های مربوط به هشدارهای خارج از کنترل، هزینه‌های

* نویسنده مسئول

تاریخ: دریافت ۱۳۹۸/۱۱/۱۳، اصلاحه ۱۳۹۹/۰۲/۱۶، پذیرش ۱۳۹۹/۰۳/۲۱

DOI:10.24200/J65.2020.55246.2092

دنباله در شرایط تحت کنترل (ARL_1)^۳ بیشینه می‌شود. برای حل مدل پیشنهادی روش‌های مختلفی وجود دارد که با توجه به مرور ادبیات می‌توان به الگوریتم‌های فراتکاری مانند زنگنه و بهینه‌سازی ازدحام ذرات اشاره کرد.^[۱۵] الگوریتم‌های فراتکاری مزایا و معایب خاص خود را دارند. این الگوریتم‌ها راه حل‌های قابل قبول در زمان معقول را برای فضاهای پیوسته، بسیار بزرگ و پیچیده ارائه می‌دهند ولی ممکن است بهینه بودن جواب‌های به دست آمده را تضمین نکنند. فضای مورد بررسی در این مقاله یک فضای گسته با راه حل‌های از پیش مشخص است. بنابراین، برای حل مدل پیشنهادی یک رویکرد چندمرحله‌یی در نظر گرفته می‌شود.

اصل پارتو^۴ از محبوب‌ترین سازوکارها در بهینه‌سازی است که ظرفیت ارتقا دادن کیفیت راه حل‌ها را دارد. از این‌رو، برای مشخص کردن راه حل‌های نامغلوب یا سطح پارتوی مدل پیشنهادی، از اصل پارتو استفاده می‌شود.^[۱۶] سپس، برای تعیین راه حل‌های کارا و انتخاب کاراترین راه حل، روش‌های تحلیل پوششی داده‌ها (DEA)^۵ به کار گرفته می‌شود. تحلیل پوششی داده‌ها در ارزیابی و مقایسه‌ی کارایی نسبی واحد‌های مشابه که وظایف یکسانی دارند، کاربرد دارد.^[۱۷] و در حل مسائل چندمعیاره در زمینه‌های مدیریتی و اقتصادی به گستردگی به کار رفته است مانند: ارزیابی عملکرد خدمات بیمارستانی^[۱۸] و ارزیابی زنجیره‌ی تأمین شرکت‌های حمل و نقل.^[۱۹]

بخش ۲ نوشتار حاضر شامل چند زیربخشن است و در آن فرم کلی طرح پایشی در قالب مفهوم اصلی نموذار کنترل RACUSUM ارائه می‌شود. در ادامه‌ی این بخش، تابع هزینه‌ی استفاده شده در طراحی اقتصادی توصیف و مدل چندهدفه برای طراحی اقتصادی آماری توسعه داده می‌شود. در بخش ۳، اصل پارتو و تحلیل پوششی داده‌ها برای بهینه‌سازی و الگوریتم استفاده شده برای حل مدل چندهدفه توضیح داده می‌شود. در بخش ۴ نیز یک مطالعه‌ی موردي در مرکز جراحی قلب نشان داده می‌شود که کاربرد روش پیشنهادی را در سیستم‌های سلامت روشن می‌کند. سپس، طراحی چندهدفه و طراحی خالص اقتصادی با هم مقایسه می‌شوند. در نهایت، نتیجه‌گیری در بخش ۵ ذکر شده است.

۲. رویکرد پایش پیشنهادی

۱.۲. طرح پایشی مبتنی بر نموذار کنترل RACUSUM

مشخصه‌های پیش از عمل هر بیمار - نظری سن، جنس، دیابت، فشار خون و غیره که از آن به عنوان «ریسک» نام می‌برند - در شروع فرایند جراحی، پایش سیستم‌های سلامت را با چالش ناهمگونی جامعه مواجه می‌کنند و می‌توانند بر پایش عملکرد جراحی تأثیرگذار باشند.^[۲۰] به عنوان مثال، بیماران با ریسک‌های حادتر امکان تجربه‌ی خروجی‌های بدتری دارند، حتی اگر مراقبت‌های عالی از آنها انجام شده باشد. بنابراین، این واقعیت را باید در نظر گرفت که نتیجه‌جات جراحی برای هر بیمار علاوه بر کیفیت جراحی، به پیشینه‌ی سلامت بیمار نیز بستگی دارد؛ این پیشینه شامل مجموعه‌یی از ریسک‌های پیش از عمل است. در نتیجه، برای این که یک طرح پایشی مؤثر داشته باشیم لازم است ارتباط بین مرگ و میر یک بیماری خاص و عوامل ریسک آن را مشخص کنیم با به اصطلاح طرح پایشی تعديل ریسک شود.

در ادبیات، با توجه به خروجی‌های گسته و پیوسته، کارهای متنوعی با استفاده از نموذارهای کنترل تعديل ریسک باید انجام شود، اما طرح پایشی مبتنی بر متغیر پیوسته‌ی زمان بقای بیمار، در تشخیص تغییرات نزخ مرگ و میر نسبت به سایر رویکردها

تعیین شد. همچنین، نموذار طراحی شده با نموذار جمع تجمعی \bar{x} برای سماریوهای مختلف مورد مقایسه قرار گرفت؛ نتایج حاصله نشان داد که زیان اقتصادی نموذار جمع تجمعی \bar{x} ، زمانی که پارامترهای فرایند به درستی تخمين زده نشوند، بسیار ناچیز است.

با این حال، طراحی اقتصادی نموذارهای کنترل ممکن است منجر به خواص آماری ضعیفی شود که این مسئله می‌تواند تصمیم مدیران برای استفاده از نموذارهای کنترل را با تردید مواجه کند. خواص آماری شامل احتمال خطاهای نوع اول و نوع دوم یا متوسط طول دنباله در شرایط تحت کنترل و در شرایط خارج از کنترل است. به منظور بهبود خواص آماری یک نموذار کنترل که با مدل‌های اقتصادی طراحی شده است، سانیگا^[۲۱] با اضافه کردن خطاهای نوع اول و نوع دوم به عنوان محدودیت‌ها به مدل اقتصادی دانکن، طراحی اقتصادی آماری را معرفی کرد. طراحی اقتصادی آماری دستیابی هم‌زمان به خواص اقتصادی و آماری مطلوب را ممکن می‌سازد. پس از آن، کارهای بسیاری در این زمینه انجام شد. اسدزاده و خوش‌الجان^[۲۲] برای طراحی اقتصادی آماری نموذار کنترل \bar{x} ، یک مدل چندهدفه را پیشنهاد دادند و در کنار کمینه‌سازی یک تابع هدف هزینه‌ی انتظار به دنبال پیشنهادی سازی تابع هدف نوان آزمون و تابع هدف متوسط طول دنباله در شرایط تحت کنترل بودند. روش حل مدل چندهدفه‌ی آنها بر اساس بهینگی سطح پارتو و روش تحلیل پوششی داده‌ها بود. نیاکی و همکاران^[۲۳] نیز طراحی اقتصادی آماری و طراحی اقتصادی نموذارهای کنترل میانگین متحرك موزون نمایی را مقایسه و روش بهینه‌سازی ازدحام ذرات را برای حل آن معرفی کردند.

پایش خروجی‌های بیمارستانی و فرایندهای بالینی به یک بخش مهم سیستم‌های سلامت تبدیل شده است. بیمارانی که در این سیستم‌ها تحت درمان قرار می‌گیرند به دلیل داشتن ویژگی‌های پیش از عمل متفاوت مانند سن، جنس، دیابت، فشار خون و غیره، جامعه‌ی ناهمگونی را تشکیل می‌دهند. از این رو احتمال مرگ هر بیمار پس از عمل جراحی نه تنها به بیماران مهارت جراح، بلکه به ویژگی‌های پیش از عمل هر بیمار نیز بستگی دارد. بنابراین، پایش و ارزیابی عملکرد جراحی باید بر اساس این ویژگی‌ها تعديل شود. این فرایند «تعديل ریسک» نام دارد. این نکته حائز اهمیت است که تشخیص مناسب یا نامناسب بودن کیفیت جراحی بدون در نظر گرفتن تعديل ریسک غیرممکن است و در صورت عدم تعديل ریسک، نموذارهای کنترل به عنوان یک ابزار بهبود کیفیت کارایی خود را از دست می‌دهند.^[۲۴] در مطالعه‌یی در این زمینه، برای تشخیص افزایش و کاهش در نزخ مرگ و میر زود هنگام بیماران بعد از عمل جراحی ترمیم پارگی آنوریسم آورت شکمی از نموذار کنترل جمع تجمعی تعديل ریسک شده (RACUSUM)^۲ استفاده شد و نتیجه نشان داد نزخ مرگ و میر نسبت به مقدار پیش‌بینی شده کاهش یافته است.^[۲۵] همچنین در مطالعه‌یی دیگر نشان داده شد که با استفاده از یک نموذار جمع تجمعی تعديل ریسک شده جدید پایش خروجی‌های جراحی قلب در نظر گرفته شده است.^[۲۶]

تا آن‌جا که مشخص است، بررسی ادبیات نشان می‌دهد که تاکنون طراحی اقتصادی آماری نموذارهای کنترل تعديل ریسک شده برای پایش سیستم‌های سلامت توسعه پژوهش‌گران در نظر گرفته نشده است. بنابراین، هدف این مقاله گسترش یک مدل طراحی چندهدفه‌ی نموذار کنترل RACUSUM در سیستم‌های سلامت با ملاحظات اقتصادی و آماری است. در این مدل پارامترهای طراحی نموذار RACUSUM به‌گونه‌یی تعیین می‌شود که هزینه‌ی انتظار و همچنین، متوسط طول دنباله در شرایط خارج از کنترل (ARL)^۳ کمینه شوند، در حالی که متوسط طول

رابطه‌ی میانگین توزیع ویبول عبارت است از:

$$\mu = \eta \Gamma(1 + \frac{1}{\kappa}) \quad (5)$$

که در آن Γ معرف تابع گاماست.^[۱۶] پس از مشخص شدن ارتباط بین زمان بقا و ریسک‌های قبل از عمل به وسیله‌ی مدل AFT، به منظور پایش زمان بقا، طراحی و توسعه نمودارکنترل RACUSUM لازم است. در دنیای پزشکی هرگونه سهیل‌انگاری و اشتباه باعث بر هم خوردن اینمی بیمار شده و هزینه‌های غیرقابل جبرانی برای بیمار، اطرافیان وی، پزشک و کادر درمانی ایجاد می‌کند. از این رو، با توجه به حساسیت سیستم سلامت، در این نوشتار به دنبال تشخیص تغییرات کاهشی در زمان بقا خواهیم بود. برای این منظور یک نمودارکنترل یک‌طرفه پیشنهاد شده و به کار گرفته می‌شود.^[۱۷] آماره این نمودار تعديل ریسک شده (V_i) چنین است:

$$V_i = \text{Min}(\circ, V_{i-1} - W_i), \quad i = 1, 2, \dots \quad (6)$$

$$V_0 = \circ$$

که در آن W_i امتیاز CUSUM است که با استفاده از رابطه‌ی ۷ محاسبه می‌شود:

$$W_i = \log\left(\frac{L(y_i|\omega_{i1})}{L(y_i|\omega_{i0})}\right) \quad (7)$$

L در این رابطه معرف تابع درست‌نمایی است. با توجه به رابطه‌ی ۷ پیداست که نمودار برای تشخیص سریع تغییرات از \circ به \circ طراحی شده است. به محض این که آمار هشدار خارج از کنترل صادر می‌شود، چون در این نوشتار از یک نمودار CUSUM یک‌طرفه استفاده می‌شود و هدف آن کشف تغییرات کاهشی در میانگین زمان بقا است، باید یک حد پایین کنترل را در نظر بگیریم. در همین راستا، LCL حد پایینی کنترل است و به طریقی انتخاب می‌شود که به یک ARL0 مطلوب برسیم. بنابراین، چنانچه $LCL > V_i$ آنگاه نمودار CUSUM یک هشدار خارج از کنترل را نشان می‌دهد. در ادامه، به منظور توسعه نمودارکنترل RACUSUM و به کار گیری آن، روش پیشنهادی سکو و همکاران^[۱۸] در نظر گرفته شد. این روش برای ایجاد تابع درست‌نمایی در امتیاز نمودار کنترل CUSUM، از توابع چگالی و بقای پیش‌بینی شده توسط مدل AFT استفاده می‌کند. همچنین، این روش برای مشاهدات سانسورشده‌گی را در نظر می‌گیرد، یعنی زمان بقا بیماران تا یک زمان از پیش تعیین شده یا زمان سانسور شده از راست (c) مشاهده می‌شود. با انجام این کار تابع درست‌نمایی عبارت خواهد بود از:

$$L(z_i|\omega_i, \delta_i) = [f(z_i)]^{\delta_i} [S(z_i)]^{1-\delta_i}$$

$$z_i = \text{Min}(y_i, c)$$

$$\delta_i = \begin{cases} 1 & \text{if } y_i \leq c \\ 0 & \text{if } y_i > c \end{cases} \quad (8)$$

با جایگذاری توابع چگالی احتمال و بقای مبتنی بر مدل AFT، در رابطه‌ی ۸ تابع درست‌نمایی نمودارکنترل RACUSUM حاصل می‌شود. سپس، می‌توان با استفاده از رابطه‌ی ۷ نسبت درست‌نمایی در امتیاز نمودارکنترل RACUSUM را ایجاد کرد. بنابراین، برای تشخیص یک تغییر به اندازه v در پارامتر مقیاس، امتیاز لگاریتم درست‌نمایی عبارت است از:

خیایی حساس‌تر و بهتر عمل می‌کند. باید توجه شود که «زمان بقا» متغیری است که ماهیتاً قابلیت اطمینان است. یکی از ویژگی‌های خاص داده‌های قابل اطمینان سانسورشده‌گی است و زمانی رخ می‌دهد که پایش زمان بقا تا یک حد از پیش تعیین شده مورد توجه باشد. بنابراین به منظور کاهش زمان و هزینه می‌توان در فرایند جراحی از سازوکار سانسورشده‌گی از راست استفاده کرد. علاوه بر این، داده‌های قابل اطمینان به وسیله‌ی عضوی از توزیع‌های مکان مقیاس و لگاریتم مکان مقیاس مدل‌سازی می‌شوند. در میان آنها، ویبول یکی از پرکاربردترین توزیع‌های است که در موقعیت‌های متفاوت مفید واقع شده است.^[۱۹] در نتیجه، بدون از دست دادن کلیات، فرض بر این است که متغیر خروجی یا زمان بقا از توزیع ویبول پرور می‌کند. توابع چگالی احتمال و بقای این توزیع که به ترتیب، با f و S نشان داده می‌شود، عبارت‌اند از:

$$f(y) = \frac{\kappa}{\eta} \left(\frac{y}{\eta}\right)^{\kappa-1} \exp\left(-\left(\frac{y}{\eta}\right)^\kappa\right) \quad (1)$$

$$S(y) = \exp\left(-\left(\frac{y}{\eta}\right)^\kappa\right)$$

که در آن y ارزش ثبت شده از خروجی اندازه‌گیری شده یعنی زمان بقاست. همچنین، κ پارامتر شکل و η پارامتر مقیاس توزیع ویبول است. از طرف دیگر، ماهیت قابلیت اطمینان زمان بقا و ناهمگونی موجود در جامعه‌ی بیماران، ما را به استفاده از مدل‌های رگرسیونی تحلیل بقا و ناهمگونی موجود در جامعه‌ی مدل‌های رگرسیون تحلیل بقا می‌توان به مدل زمان شکست تسریع‌یافته (AFT)^۷ اشاره کرد که یک یا چند پارامتر توزیع را به وسیله‌ی تابعی از متغیرهای تأثیرگذار شناسایی شده بیان می‌کند.^[۱۹] در این نوشتار به منظور تعديل ریسک از مدل AFT استفاده می‌کنیم و بر اساس آن، پارامترهای توزیع پایه را می‌توان با رابطه‌ی ۲ نشان داد:

$$\omega_i = q(\beta, X_i) \quad (2)$$

که در آن q تابع مدل رگرسیون، ω برداری از پارامترهای توزیع، β بردار پارامترهای رگرسیونی و X_i بردار متغیرهای تأثیرگذار است که عوامل ریسک را برای بیمار i معنکس می‌کند. با استفاده از مدل AFT برای توزیع ویبول، پارامتر مقیاس را به تنها متغیر تأثیرگذار در این مقاله وابسته می‌کنیم یعنی:

$$\eta = \exp(\beta_0 + \beta_1 x) \quad (3)$$

از این رو، تابع چگالی احتمال و بقا چنین بازنویسی می‌شود:

$$f(y|x) = \frac{\kappa}{\exp(\beta_0 + \beta_1 x)} \left(\frac{y}{\exp(\beta_0 + \beta_1 x)}\right)^{\kappa-1} \quad (4)$$

$$S(y|x) = \exp\left(-\left(\frac{y}{\exp(\beta_0 + \beta_1 x)}\right)^\kappa\right)$$

که در آن β_0 و β_1 پارامترهای مدل رگرسیونی هستند. در رابطه‌ی ۳، نقش قسمت ثابت (β_0) با پارامتر مقیاس یکسان است. در نتیجه، با توجه به رابطه‌ی ۴ می‌توان نشان داد که مدل AFT برای توزیع ویبول دارای پارامتر شکل κ و پارامتر مقیاس $(\eta \exp(\beta_1 x))$ است.^[۱۹] بنابراین، بردار پارامترهای تحت کنترل به صورت $(\kappa, \eta \exp(\beta_1 x)) = (\kappa, v \eta \exp(\beta_1 x))$ مشخص می‌شود. فرض بر این است که v یک متغیر از پیش تعیین شده است که نمودارکنترل CUSUM برای تشخیص بهینه‌ی آن طراحی شده است. به دلیل رابطه‌ی مستقیم بین پارامتر مقیاس و میانگین توزیع ویبول، هر تغییری در پارامتر مقیاس معادل با تغییر در میانگین زمان بقا است.

که برای صورت کاهش یافته‌ی آن داریم:

$$W_i = \log \frac{[\frac{\kappa}{v\eta \exp(\beta_1 x_i)} (\frac{z_i}{v\eta \exp(\beta_1 x_i)})^{\kappa-1} \exp(-(\frac{z_i}{v\eta \exp(\beta_1 x_i)})^\kappa)]^{\delta_i} [\exp(-(\frac{z_i}{v\eta \exp(\beta_1 x_i)})^\kappa)]^{1-\delta_i}}{[\frac{\kappa}{\eta \exp(\beta_1 x_i)} (\frac{z_i}{\eta \exp(\beta_1 x_i)})^{\kappa-1} \exp(-(\frac{z_i}{\eta \exp(\beta_1 x_i)})^\kappa)]^{\delta_i} [\exp(-(\frac{z_i}{\eta \exp(\beta_1 x_i)})^\kappa)]^{1-\delta_i}} \quad (9)$$

همچنین، هزینه‌ی کل انتظار یک دوره چنین فرموله می‌شود:

$$E_C = A \cdot \frac{\frac{1}{\lambda} + [(h \cdot ARL_1) - \tau] + \gamma_1 \cdot TF + \gamma_2 \cdot TD}{h} + CO \cdot ARL_1 + (CF + CD) \quad (12)$$

پارامترهای این توابع عبارت‌اند از:

- ARL : متوسط طول دنباله در شرایط تحت کنترل;
- ARL_1 : متوسط طول دنباله در شرایط خارج از کنترل;
- τ : زمان انتظار وقوع انحراف با دلیل بین نمونه‌های $i+1$ و i , که به کمک رابطه‌ی ۱۳ به دست می‌آید:

$$\frac{1 - (1 + \lambda \cdot h) \cdot e^{-\lambda \cdot h}}{\lambda \cdot (1 - e^{-\lambda \cdot h})} \quad (13)$$

جزئیات این رابطه در قسمت (ب) پیوست آمده است.

- TF : متوسط زمان برای جست‌وجو و شناسایی انحراف با دلیل;
- TD : متوسط زمان برای اجرای اقدامات اصلاحی;
- A : هزینه‌های نمونه‌گیری برای هر بیمار;
- CO : هزینه‌ی تحمیل شده بر بیمارستان به دلیل جراحی خارج از کنترل برای هر بیمار ناشی از وقوع انحراف با دلیل;
- CF : هزینه‌ی جست‌وجو و شناسایی انحراف با دلیل;
- CD : هزینه‌ی اقدامات اصلاحی برای رفع انحراف با دلیل;

- γ_1 : ۱ است، اگر فرایند در طول زمان جست‌وجو و شناسایی انحراف با دلیل متوقف نشود، در غیرین صورت معادل صفر است؛
- γ_2 : ۱ است، اگر فرایند در طول زمان رفع و حذف انحراف با دلیل متوقف نشود، در غیر این صورت معادل صفر است.

در نهایت، هزینه‌ی انتظار در واحد زمانی تحمیل شده بر فرایند، با تقسیم هزینه‌ی کل انتظار در طول یک دوره بر طول انتظار یک دوره و مطابق رابطه‌ی ۱۴ محاسبه می‌شود:

$$E_A = \frac{E_C}{E_T} \quad (14)$$

۳.۲. مدل چنددهدفه طراحی نمودار کنترل RACUSUM در حضور یک انحراف با دلیل

چنان که در «مقدمه» بیان شد، مشکل اصلی طراحی اقتصادی نمودارهای کنترل، عدم توجه به خواص آماری مطلوب است. بنابراین، به منظور غلبه بر ضعف خواص آماری در طراحی اقتصادی نمودار کنترل RACUSUM، یک مدل برنامه‌ریزی چنددهدفه پیشنهاد می‌شود که به طور هم‌زمان هر دو ملاحظات

$$W_i = [(1 - v^{-\kappa}) (\frac{z_i}{\eta \exp(\beta_1 x_i)})^\kappa] - \delta_i \kappa \log v \quad (10)$$

نحوه‌ی تبدیل رابطه‌ی ۹ به رابطه‌ی ۱۰ در قسمت (الف) پیوست ذکر شده است. در نهایت، با دست‌یابی به امتیاز نمودار کنترل RACUSUM، می‌توان با استفاده از رابطه‌ی ۶ به سادگی به آماره‌ی آن دست یافت.

۲. تابع هزینه‌ی طراحی اقتصادی نمودار کنترل RACUSUM

در حضور یک انحراف با دلیل

تعیین پارامترهای نمودار کنترل RACUSUM با کمینه‌سازی یک تابع هزینه‌ی مناسب، طراحی اقتصادی نامیده می‌شود. این پارامترها n (اندازه نمونه)، h (فاصله نمونه‌گیری)، LCL (حد پایین کنترل) و UCL (حد پایین طراحی شده در CUSUM برای کشف بهیمه‌ی تغییر) هستند. در این نوشتار برای تعیین ارزش‌های بهیمه‌ی پارامترهای نمودار کنترل RACUSUM از تابع هزینه‌ی لوزنزن و ونس کمک می‌گیریم.^[۲] این تابع برای حضور یک انحراف با دلیل در فرایند در نظر گرفته شده است. تابع هزینه‌ی پیشنهادی به سه قسمت اصلی تجزیه می‌شود:

(الف) هزینه‌های نمونه‌گیری؛

(ب) هزینه‌های تحمیل شده بر بیمارستان (سیستم‌های سلامت) در شرایط جراحی در حالت خارج از کنترل برای هر بیمار؛

(ج) هزینه‌های شناسایی و اقدامات اصلاحی برای انحراف با دلیل.

فرض بر این است که فرایند در یک دوره، از یک حالت تحت کنترل آغاز می‌شود و در این حالت، زمان تا رسیداد یک انحراف با دلیل از یک توزیع نمایی با میانگین ۱/۸ پیروی می‌کند. پس از رسیداد انحراف با دلیل، فرایند به حالت خارج از کنترل می‌رود و تا زمان پیدا کردن و اصلاح انحراف با دلیل ادامه می‌یابد و سپس دوره‌ی جدید آغاز می‌شود. هزینه‌ی انتظار در واحد زمانی، با تقسیم هزینه‌ی کل انتظار در طول یک دوره بر طول انتظار یک دوره، محاسبه می‌شود. همچنین، طول انتظار یک دوره شامل چهار قسمت است:

(الف) مدت زمانی که فرایند در حالت تحت کنترل باقی می‌ماند. به عبارت دیگر این مدت زمان یک متغیر تصادفی نمایی با میانگین ۱/۸ است؛

(ب) مدت زمانی که فرایند خارج از کنترل است؛

(ج) مدت زمان برای شناسایی و تشخیص انحراف با دلیل؛

(د) مدت زمان برای اقدامات جهت اصلاح انحراف با دلیل.

بنابراین، با کنار هم قرار گرفتن چهار قسمت زمانی، طول انتظار یک دوره برابر است با:

$$E_T = \frac{1}{\lambda} + [(h \cdot ARL_1) - \tau] + TF + TD \quad (11)$$

برنامه‌ریزی ریاضی که کارایی نسبی خوشبی همگون از واحدهای تصمیم‌گیری با ورودی‌های و خروجی‌های چندگانه را اندازه می‌گیرد.^[۲۲] در این نوشتار، هر مجموعه‌ی ممکن از پارامترهای طراحی به عنوان یک واحد تصمیم‌گیری فرض می‌شود. علاوه بر این، با توجه به مفهوم DEA برای مدل چندهدفی پیشنهادی، دو هدف آماری یعنی ARL_u و ARL_l را که به صورت بهینه‌سازی هستند به عنوان خروجی‌ها، و هدف هزینه (EA) را که به صورت کمینه‌سازی است به عنوان تها ورودی در نظر می‌گیریم. برای محاسبه‌ی کارایی نسبی واحدهای تصمیم‌گیری لازم است وزن‌های اختصاص داده شده به ورودی‌ها و خروجی‌ها بهینه شوند. برای رسیدن به این هدف، می‌توان به مدل‌های CCR، CCR^* و جمعی اشاره کرد. در مدل‌های CCR و CCR^* تمايز حالت‌های ورودی محور و خروجی محور ضروری است، اما در مدل جمعی هر دو حالت به صورت یک مدل واحد ارائه می‌شود. مدل جمعی از اولین و مهم‌ترین مدل‌های ارائه شده برای تعیین کارایی در DEA است که خود این مدل، پایه و منشأ تعریف بسیاری از مدل‌های دیگر است. در نتیجه، در این مقاله برای محاسبه‌ی کارایی هر واحد تصمیم‌گیری به عنوان یک مجموعه ممکن از پارامترهای طراحی، از حل مدل جمعی استفاده می‌کنیم. از دیگر دلایل اهمیت این مدل کامل بودن کارایی محاسبه شده توسط آن است، زیرا مدل مستقیماً به کمینه‌سازی متغیرهای کمکی می‌پردازد. در حالی که در دیگر مدل‌ها تشخیص وجود متغیرهای کمکی در کارایی، عموماً به سیله‌ی یک مدل دیگر شیوه مدل جمعی و به عنوان مرحله‌ی دوم اندمازه‌گیری کارایی انجام می‌شود. بنابراین، از مزیت‌های مدل جمعی این است که نیازی به روش دومرحله‌ی نیست و ارزیابی کارایی واحد با حل یک مدل به دست می‌آید. فرض می‌شود m واحد تصمیم‌گیری با a و b خروجی وجود دارد. ارزش‌های ورودی و خروجی برای واحد تصمیم‌گیری k ($k = 1, 2, \dots, m$)، به ترتیب با p_{jk} و q_{rk} ($j = 1, 2, \dots, b$) ($r = 1, 2, \dots, a$) نشان داده می‌شود. با این حال، فرم ریاضی مدل جمعی برای محاسبه‌ی کارایی واحد تصمیم‌گیری k عبارت است از:

$$\begin{aligned} & \text{Max } E_k(D) = \\ & \sum_{r=1}^b u_r q_{rk}(D) - \sum_{j=1}^a e_j p_{jk}(D) - T \\ & \text{s.t.} \\ & \sum_{r=1}^b u_r q_{rk}(D) - \sum_{j=1}^a e_j p_{jk}(D) - T \leq 0, \\ & u_r, e_j \geq 1, \\ & T \text{ is free.} \end{aligned} \quad (17)$$

که در آن e_j و u_r به ترتیب اوزان ورودی‌ها و خروجی‌ها هستند و علامت T نوع بازده به مقیاس را نشان می‌دهد. رابطه‌ی ۱۷ باید برای هر واحد تصمیم‌گیری یا ترکیبی از پارامترهای طراحی فرموله شود تا مجموعه‌ی از اوزان برای بهینه‌سازی کارایی واحد تصمیم‌گیری در نظر گرفته شده، به دست آید. اگر $E_k^* = 1$ آنگاه واحد تصمیم‌گیری k کارایی نسبی است و در غیر این صورت ناکاراست. لذا، در رویکرد پیشنهادی قصد داریم از DEA برای سنجش کارایی سطح پارتو مدل چندهدفه بهمنظور یافتن پارامترهای طراحی بهینه‌ی نمودار کنترل RACUSUM استفاده شود. برای این منظور یک الگوریتم حل چندمرحله‌ی در نظر گرفته شده است که در مبحث بعدی توضیح داده می‌شود.

۳.۳. الگوریتم حل

در این زیربخش یک الگوریتم حل پنج مرحله‌ی برای بهینه‌سازی مدل چندهدفه‌ی پیشنهادی معرفی می‌شود. توجه شود که در این مدل باید برای هر مجموعه‌ی ممکن

اقتصادی و آماری را در نظر می‌گیرد. این مدل دارای یک هدف اقتصادی شامل کمینه‌سازی هزینه‌ی انتظار هر واحد زمانی (E_A) برای پایش فرایند و دو هدف آماری شامل بیشینه‌سازی متوسط طول دنباله در شرایط تحت کنترل (ARL_u) به منظور کاهش رخدادهای هشدار اشتباہی و بیشینه‌سازی معکوس متوسط طول دنباله در شرایط خارج از کنترل (ARL_l) به منظور تشخیص سریع شرایط خارج از کنترل است. شکل ریاضیاتی مدل چندهدفه‌ی پیشنهادی عبارت است از:

$$\begin{aligned} & \text{Min } E_A(D) \\ & \text{Max } ARL_u(D) \\ & \text{Max } \frac{1}{ARL_l(D)} \\ & \text{s.t.} \\ & ARL_u(D) \geq ARL^L \\ & ARL_l(D) \leq ARL^U \end{aligned} \quad (18)$$

که در آن ARL^L و ARL^U در دو محدودیت آماری، به ترتیب نشان‌دهنده‌ی حد پایین ARL_l و حد بالای ARL_u هستند. همچنین، D یک ترکیب ممکن از پارامترهای طراحی شامل LCL و UCL است. بنابراین، به منظور انتخاب یک ترکیب از پارامترهای طراحی نمودار کنترل RACUSUM با ارزش‌های بهینه، می‌توان مدل چندهدفه‌ی رابطه‌ی ۱۵ را حل کرد. در مبحث بعدی یک الگوریتم حل چندمرحله‌ی بر اساس یکپارچه‌سازی اصل پارتو و روش‌های تحلیل پوششی داده‌ها (DEA) برای بهینه‌سازی مدل چندهدفه‌ی رابطه‌ی ۱۵ شرح داده می‌شود.

۳. رویکرد حل

۳.۱. اصل پارتو

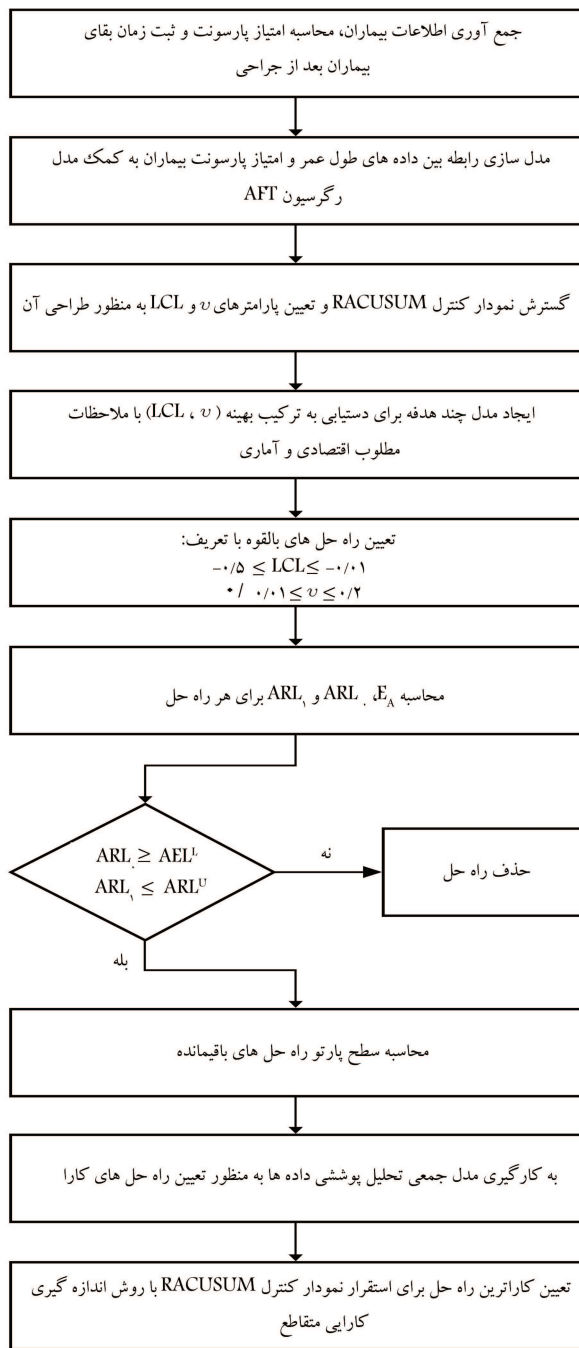
در اصل پارتو رتبه‌بندی راه‌حل‌ها بر اساس نامغلوب‌ها با استفاده از مفهوم غلبه‌صورت می‌گیرد. به طور کلی برای مرتب کردن راه‌حل‌ها بر اساس سطح نامغلوب‌ها، هر راه حل با تمام راه حل‌های دیگر موجود در جمیعت مقابسه شده، تا مغلوب بودن یا نبودن آن مشخص شود. در نهایت مجموعه‌ی از راه‌حل‌ها وجود دارد که هیچ کدام غالب و مغلوب هم نمی‌شوند. لذا این راه حل‌ها سطح پارتو را تشکیل می‌دهند. برای یک مسئله‌ی کمینه‌سازی با Q تابع هدف، راه‌حل g در صورتی به راه حل غلبه‌می‌کند که:

$$\begin{aligned} & g < o \forall t : f_t(g) \leq f_t(o) \\ & \text{and} \\ & \exists t : f_t(g) < f_t(o) \end{aligned} \quad (19)$$

که در آن (g) و (o) مقادیر اهداف t ام مرتبط با راه حل‌های g و o هستند. عبارت بالا به این مفهوم است که همه‌ی اهداف مربوط به g کوچک‌تر یا مساوی تابع هدف متناظر مربوط به o باشند. یعنی o از هیچ نظر بهتر از g نباشد و g حداقل از یک نظر اکیداً بهتر از o باشد. راه حل‌های نامغلوب را «راه حل سطح پارتو» می‌نامند.^[۲۳]

۳.۲. تحلیل پوششی داده‌ها (DEA)

روش CCR^۸ اولین بار توسط چارنزا، کپرو و رودز معرفی شد و روشی است بر اساس



شکل ۱. فرایند اجرای رویکرد پیشنهادی در یک مرکز جراحی قلب.

قلبی، مادرزادی قلبی، ترمبوزورید و آمبولی ریه. این نوع بیماری‌های رتبه‌ی نخست علل مرگ و میر در جهان را به خود اختصاص داده و تعداد زیادی از مردم هر ساله جان خود را به دلیل این نوع بیماری‌های از دست می‌دهند. جراحی قلب جزء رایج‌ترین عمل‌های جراحی در میان بزرگ‌سالان است و با توجه به این که حیات یک فرد به عدم‌کرد قلب وی بستگی دارد، حساسیت این عمل جراحی بسیار بالاست و پایش زمان بقای بیمار بعد از جراحی پراهمیت است. از این‌رو، کاربرد واقعی رویکرد پیشنهادی در یک مرکز جراحی قلب مورد بررسی قرار می‌گیرد (شکل ۱). برای این منظور یک نوع عمل خاص به نام جراحی با پس عروق کرونر (CABG) ^{۱۰} انتخاب شد و اطلاعات ۱۰۰ بیمار، شامل تاریخ عمل، نام جراح، رویکرد عمل، زمان

از پارامترهای طراحی، مقادیر سه تابع هدف مذکور از قبل محاسبه شود. الگوریتم حل برای بهینه‌سازی مدل چند‌هدفه چنین توصیف می‌شود:

الف) تعیین ترکیبات ممکن از پارامترهای طراحی با تعریف بازه‌هایی برای هر پارامتر طراحی؛ در این نوشتار که در یک مرکز جراحی قلب اجرا می‌شود، به دلیل حساسیت بودن حوزه‌ی سلامت، نمونه‌گیری به صورت جداگانه و در بازه‌های زمانی ثابت بر روی همه بیماران انجام می‌پذیرد. بنابراین $n = 1$ و $h = 4$ (ساعت) است. لذا بهینه‌سازی در ارتباط با این دو پارامتر مدد نظر قرار نمی‌گیرد. اما بازه‌هایی که برای دو پارامتر دیگر در نظر گرفته شده، به صورت $v^L \leq v \leq v^U$ و $LCL^L \leq LCL \leq LCL^U$ است. در این بازه‌ها v^L و v^U به ترتیب، بیان‌گر کمترین و بیشترین مقدار مجاز برای v و همچنین، LCL^L و LCL^U به ترتیب، بیان‌گر کمترین و بیشترین مقدار مجاز برای حد پایین کنترل هستند. در این مطالعه فرض می‌کنیم $0.01 \leq v \leq 0.05$ ، که با مقدار 1.00 افزایش می‌یابد و $0.05 \leq LCL \leq 0.01$ - که گام افزایشی آن نیز مقدار 0.05 است. بنابراین، با در نظر گرفتن تمام ترکیبات ممکن تعداد راه حل‌های بالقوه 10^{100} خواهد بود؛ ب) ازین بردن راه حل‌های غیرممکن: با توجه به محدودیت‌های آماری $ARL_1 \geq ARL^L$ و $ARL_2 \geq ARL^U$ ، عناصر غیر جذاب را حذف می‌کنیم. محدودیت‌های آماری این مطالعه عبارت است از: $5 \leq ARL_1 \leq 20$ و $ARL_2 \geq 20$ ؛

ج) تعیین سطح پارتو: در این مرحله برای مشخص شدن راه حل‌های نامغلوب یا سطح پارتو اصل پارتو استفاده می‌شود. در میان مجموعه راه حل‌های باقی‌مانده از مرحله‌ی قبل، راه حلی نامغلوب است که از لحاظ ویژگی‌های آماری و هزینه توسط سایر راه حل‌ها به طور کامل مغلوب نشود؛

د) انتخاب راه حل‌های کارا: کارایی نسبی راه حل‌های باقی‌مانده را با مدل جمعی DEA محاسبه و مجموعه پارامترهای طراحی کارا را انتخاب می‌کنیم؛

ه) رتبه‌بندی مجموعه پارامترهای طراحی کارا: برای رتبه‌بندی مجموعه پارامترهای طراحی کارا و انتخاب کاراکترین آنها، از روش اندازه‌گیری کارایی متقطع استفاده می‌کنیم. تفسیر جالب کارایی متقطع این است که هر مجموعه از پارامترهای طراحی کارا از لحاظ بهترین اوزان خود و بهترین اوزان مجموعه پارامترهای طراحی کارایی دیگر چگونه عمل می‌کند.^[۱۲] با فرض این که اوزان بهینه‌ی رابطه‌ی ۱۷ برای واحد تصمیم‌گیری d ، $(e_{jd}^*, u_{rd}^*, T_d^*)$ باشد، کارایی واحد تصمیم‌گیری k با اوزان واحد تصمیم‌گیری d در یک فرایند همتا ارزیابی مطابق رابطه‌ی ۱۸ محاسبه می‌شود:

$$E_{dk} = \frac{\sum_{r=1}^b u_{rd}^* q_{rk} - T_d^*}{\sum_{j=1}^a e_{jd}^* p_{jk}} \quad (18)$$

میانگین همه E_{dk} ها کارایی متقطع نامیده می‌شود و واحد تصمیم‌گیری با بالاترین کارایی متقطع بهترین رتبه را دارد. این میانگین چنین محاسبه می‌شود:

$$\bar{E}_k = \frac{\sum_{d=1}^m E_{dk}}{m}, \quad k = 1, \dots, m. \quad (19)$$

۴. تحلیل یافته‌ها

۴.۱. مطالعه‌ی موردي در مرکز جراحی قلب

بیماری‌های قلبی - عروقی یک گروه از اختلالات عمده‌ی قلب و عروق هستند که عبارت‌اند از: بیماری‌های عروق کرونر قلب، عروق معزی، شریان محیطی، روماتیسم

جدول ۱. جزئیات مربوط به هزینه‌ی متحمل شده بر بیمارستان در شرایط خارج از کنترل.

هزینه (ریال)	اقدام	هزینه (ریال)	اقدام
۲۱۵۰۰۰	بیهوشی	۳۲۴۰۰۰	آزمایش
۱۰۰۰۰۰	لوازم مصرفی	۲۹۵۰۰۰۰	اکوکاردیولوژی
۴۸۵۰۰۰	داروهای مصرفی	۳۷۰۰۰۰	آنژوگرافی
۵۲۰۰۰	تخت ICU برای دوش	۲۳۸۱۱۰۰	مشاوره
۱۹۰۴۰۰	خدمات پرستاری	۸۰۹۰۰۰	جراحی
۴۸۳۰۰۰	تخت بخش برای هشت شب	۱۰۱۲۰۰۰	اتفاق عمل

در هر ماه فقط بیست روز و هر روز هشت ساعت (شامل دو عمل چهار ساعته) جراحی انجام می‌شود، در نتیجه یک انحراف با دلیل ناشی از عوامل انسانی با نرخ $\lambda = ۰.۰۵$ ساعت رخ داده و زمان بقای بیمار را به میزان ۹۵٪ کاهش می‌دهد. نمونه‌گیری از بیماران به صورت انجام آزمایشات و اقدامات مورد نیاز برای جمع‌آوری امتیاز پارسونت صورت می‌گیرد. زمانی که صرف تکمیل پرسش‌نامه پارسونت خواهد شد دارای هزینه است که این هزینه به صورت ساعتی و به تعداد پرسش‌نامه‌ها برای هر فردی که مسئول جمع‌آوری اطلاعات باشد محاسبه می‌شود که به ازای هر بیمار معادل ۸۴۰۰۰۰ ریال است. زمانی که یک انحراف با دلیل ناشی از عوامل انسانی رخ می‌دهد فرایند جراحی با پس عروق کرونر به حالت خارج از کنترل رفته و بیمارانی که در این حالت تحت عمل جراحی قرار گرفتند هزینه‌هایی شامل هزینه‌های آزمایش، اکوکاردیوگرافی، آنژوگرافی، مشاوره، جراحی، اتفاق عمل، بیهوشی، لوازم مصرفی، داروهای مصرفی، تخت آسیو برای دوش، خدمات پرستاری و تخت بخش برای هشت شب را به مقدار ۲۱۶۲۳۵۰۰ ریال به بیمارستان تحمیل می‌کنند. جزئیات مربوط به هزینه‌های تحمیل شده به بیمارستان در شرایط خارج از کنترل به دلیل رخ دادن انحراف با دلیل انسانی در جدول ۱ گزارش شده است.

علاوه بر این، زمانی که فرایند جراحی با پس عروق کرونر به دلیل رخداد عامل انسانی در حالت خارج از کنترل به سر می‌برد، برای پیدا کردن انحراف با دلیل اقداماتی صورت می‌گیرد. بنابراین، به محض این که هشدار مربوط به خارج از کنترل بودن صادر شد یک کمیته‌ی تخصصی با عنوان مریدیتی^{۱۱} یا مرتالیتی^{۱۲} تشکیل خواهد شد. اگر هشدار خارج از کنترل بودن منجر به نامساعد شدن شرایط بیمار شود، کمیته‌ی تخصصی مریدیتی نام دارد. در غیر این صورت، اگر منجر به مرگ بیمار شود با عنوان مرتالیتی شکل می‌گردد. این کمیته‌ها بلافضله پس از صدور هشدار خارج از کنترل تشکیل خواهد شد و به بررسی کامل پرونده‌ی بیمار پرداخته می‌شود. سپس، حاضرین باید درباره‌ی موضوعات مربوط به خود توضیحاتی را مطرح کنند. همچنین، در این کمیته‌ها سامانه‌ی سیستم ثبت خطاب مورد بررسی قرار می‌گیرد. بنابراین، متوسط زمانی که صرف این اقدامات برای پیدا کردن انحراف با دلیل انسانی می‌شود چهار ساعت است و پس از کشف علت آن، اصلاح خطای انسانی به طور متوسط دو ساعت زمان نیاز دارد. علاوه بر این، برای پیدا کردن انحراف با دلیل انسانی به طور متوسط هزینه‌ی بی با مقدار ۱۶۰۰۰۰۰۰۰ ریال در نظر گرفته شده است و اصلاح خطاهای انسانی به طور متوسط ۸۰۰۰۰۰۰ ریال هزینه به همراه دارد. لازم به ذکر است که فرایند جراحی در طول جستجو برای پیدا کردن انحراف با دلیل و اصلاح آن ادامه پیدا می‌کند.

در ادامه، با توجه به مقادیر برآورده شده پارامترهای توزیع امتیازهای پارسونت و توزیع مدل AFT ویبول، مطالعات شبیه‌سازی برای محاسبه‌ی شاخص‌های آماری

بقا و امتیاز پارسونت جمع‌آوری شد. امتیاز پارسونت به منظور تعیین ریسک‌های قبل از عمل جراحی برای هر بیمار استفاده می‌شود که شامل ترکیب وزنی ریسک‌های قبل از عمل برای هر بیمار است و در فرایند جراحی قلب به عنوان تنها متغیر تأثیرگذار بر زمان بقا در نظر گرفته می‌شود.^{۱۳}

پس از این که ریسک‌های قبل از عمل برای هر بیمار مشخص شد، تأثیر آنها بر زمان بقا توسط مدل AFT ویبول تعدیل می‌شود. به دلیل قوانین و مقررات بیمارستان، زمان بقای بیمارانی که در طول مطالعه زنده ماندند در روز بیست و یکم سانسور شد و در مرکز جراحی قلب انتخاب این نقطه‌ی پایانی، معمولاً به عنوان یک اندازه‌ی رایج بالینی به حساب می‌آید. در ابتدا، داده‌های جمع‌آوری شده از ۱۰۰ بیمار برای پیدا کردن توزیع مناسب و برآورد پارامترهای تحت کنترل مورد استفاده قرار گرفت. نتایج این قسمت نشان داد که داده‌های امتیاز پارسونت دارای توزیع گاما با پارامتر مقایس برابر با $117/5$ و پارامتر شکل برابر با $208/4$ است. سپس، برای تخمین ارزش پارامترهای تحت کنترل مدل AFT ویبول از روش برآورد پیشینه درست‌نمایی استفاده شد و این ارزش‌ها با مقادیر $7/22$ برابر با $183744/22$ ، $6/6$ برابر با $12066/1$ ، $44/21$ برابر با $2144/20$ مشخص شد. بنابراین، می‌توان با استفاده از روابط 4 و 9 ، به ترتیب توابع چگالی احتمال و بقای مدل AFT ویبول و به دنبال آن امتیاز نمودار کنترل RACUSUM را محاسبه کرد.

اما مهم‌ترین قسمت، استقرار نمودار کنترل RACUSUM در فرایند جراحی با پس عروق کرونر است که برای این منظور نیاز است تا چهار پارامتر طراحی این نمودار تعیین شود. این پارامترها اندازه نمونه (n)، فاصله‌ی نمونه‌گیری (h)، حد پایین کنترل (LCL) و ضریب طراحی شده در نمودار کنترل RACUSUM برای کشف بهینه تغییر (U) هستند. همان‌طور که در الگوریتم حل بیان شد، در این مطالعه به دلیل حساسیت بالای سیستم‌های سلامت در پایش هر بیمار، تمامی بیماران به صورت جداگانه و بی‌دریبی مورد پایش قرار می‌گیرند. بنابراین، اندازه نمونه ثابت و برابر با مقدار ۱ است. با این حال، چون بیماران در مرکز جراحی هر چهار ساعت یک بار تحت جراحی قرار می‌گیرند، مقدار فاصله‌ی نمونه‌گیری نیز ثابت و برابر با ۴ است. پس از مشخص شدن دو پارامتر طراحی نمودار کنترل RACUSUM، لازم است در فرایند جراحی قلب دو پارامتر دیگر نمودار یعنی ضریب بهینه‌ی تغییر کاهاشی (v) و حد پایین کنترل (LCL) به‌گونه‌ی تعیین شود که هر دو خواص آماری و اقتصادی ارضاع شوند. در قسمت‌های پیشین، علمت تمرکز بر تعیین ضریب بهینه‌ی تغییر کاهاشی و حد پایینی کنترل بیان شد و پیشنهاد شد که به منظور جا لوگری از برهم خودن اینمی بیمار و پیشگیری از هزینه‌های غیر قابل جبران، برای بیمار و اطرافیان وی، پژشک و کادر درمان، یک نمودار کنترل یک‌طرفه به منظور تشخیص سریع تغییرات کاهاشی به‌کار گرفته شود. در نتیجه، رویکرد طراحی چند‌هدفه‌ی پیشنهادی در این مقاله، برای انتخاب ترکیبی از پارامترهای طراحی نمودار کنترل RACUSUM یعنی (v) مورد استفاده قرار می‌گیرد، به طرقی که اهداف مطلوب کمترین هزینه‌ی انتظار و پیشنهاد ویژگی‌های آماری حاصل شود.

در فرایند جراحی با پس عروق کرونر ممکن است به دلیل مواردی مثل عدم دقت اعضای کادر درمانی، شامل: اعضای آزمایشگاهی، بیهوشی، جراحی و مراقبتی، شرایط بیماران به حالت غیرعادی تغییر کند و دارای پیامدهایی باشد. این عدم دقت می‌تواند ناشی از عدم تمرکز لازم، نداشتن دانش کافی و خستگی اعضای کادر درمانی رخ دهد که خطاهای مختلف آزمایشگاهی، دارویی، تکنیکی و مراقبتی را به همراه دارد. با این حال، می‌توان بیان کرد که در فرایند جراحی با پس عروق کرونر، یک انحراف با دلیل ناشی از عوامل انسانی به عنوان تنها متغیر تأثیرگذار قلب، نرخ رخداد مربوط به عوامل انسانی سه بار در ماه است. با توجه به این که

جدول ۲. پارامترهای طراحی کارایی به دست آمده از مدل جمعی تحلیل پوششی داده‌ها.

توابع هدف			پارامترهای طراحی	
خروجی ۲	خروجی ۱	ورودی	v	LCL
۰,۳۶۰	۲۴,۰۴۱	۱۴۳۸۱۴۹,۵۲	۰,۱۹	-۰,۲۴
۰,۳۶۰	۳۲,۴۷۶	۱۴۳۸۷۳۵,۱۴	۰,۰۹	-۰,۳۱
۰,۳۵۹	۳۶,۵۶۵	۱۴۴۰۷۱۰,۳۹	۰,۰۷	-۰,۲۰
۰,۳۵۰	۴۹,۳۹۱	۱۴۵۷۰۹۸,۴۶	۰,۰۴	-۰,۴۲
۰,۳۳۸	۵۸,۹۴۰	۱۴۸۲۵۲۷,۹۵	۰,۰۲	-۰,۱۴
۰,۳۱۱	۷۵,۷۰۳	۱۵۴۱۴۶۸,۱۸	۰,۰۳	-۰,۳۷
۰,۲۴۷	۱۱۷,۱۰۹	۱۷۲۰۳۶۵,۱۰	۰,۰۱	-۰,۴۹

جدول ۳. رتبه‌بندی پارامترهای طراحی کارا با استفاده از روش اندازه‌گیری کارایی متقاطع.

کارایی متقاطع	وزن بازده به بهینه	(T*)	وزن خروجی بهینه	اوزان خروجی بهینه	وزن ورودی بهینه	پارامترهای طراحی	
						(e*)	(LCL, v)
۰/۹۶۰۸	-۱۴۲۵۶۸/۶۷	۲۹۲۵۹۳/۹۷	۴۰/۴۴۶۲	۱/۰۷	(-۰/۲۴, ۰/۱۹)		
۰/۹۷۴۶	-۱۲۰۷۵۹۵/۶۹	۸۱۷۷۶۹/۶۸	۷۰۶/۵۲۴۱	۱/۰۶	(-۰/۳۱, ۰/۰۹)		
۰/۹۸۰۰	-۱۵۱۵۷۶۸/۱۰	۱۱۹۷۱۰/۵۸	۱۳۷۴/۳۴	۱/۱۲	(-۰/۲۰, ۰/۰۷)		
۰/۹۸۹۰	-۱۸۹۸۵۷۹/۷۵	۱۳۳۹۲۲/۳۵	۳۹۶۱/۵۱	۱/۴۷	(-۰/۴۲, ۰/۰۴)		
۰/۹۸۵۶	-۱۸۹۶۴۴۲/۲۳	۱۲۱۳۴۵/۰۹	۵۵۴۲/۳۳	۱/۵۳	(-۰/۱۴, ۰/۰۳)		
۰/۹۷۰۱	-۱۸۴۹۶۳۴/۴۰	۶۲۴۴۴/۰۹	۵۶۲۱/۹۴	۱/۴۹	(-۰/۳۷, ۰/۰۳)		
۰/۹۸۶۰	-۱۵۰۲۵۳۴/۴۰	۵۵۵۱۵۰/۸۸	۷۲۹۰/۷۴	۱/۴۵	(-۰/۴۹, ۰/۰۱)		

تابع هزینه به عنوان تنها ورودی و خواص آماری به عنوان دو خروجی در نظر گرفته شد، و سپس برای مشخص کردن واحدهای تصمیم‌گیری کارا، مدل جمعی مورد استفاده قرار گرفت. براساس خروجی‌های به دست آمده از مدل جمعی، هفت واحد تصمیم‌گیری به عنوان ترکیبی از پارامترهای طراحی کارا انتخاب شد که نتایج آن در جدول ۲ قابل مشاهده است.

در نهایت، این هفت واحد تصمیم‌گیری برای رتبه‌بندی و تعیین کاراترین ترکیب، ورودی‌های روش اندازه‌گیری کارایی متقاطع واقع شدند که با استفاده از این روش کاراترین ترکیب مشخص شد و نتایج آن در جدول ۳ ارائه شده است. براساس نتایج این جدول، روش اندازه‌گیری کارایی متقاطع پارامترهای طراحی $LCL = -۰,۴۲$ و $v = ۰,۰۷$ در واحد زمانی مربوط به استفاده از نمودار کنترل RACUSUM در مرکز جراحی قلب ممکن خواهد شد. در نهایت، به منظور بهینه‌سازی مدل اقتصادی - آماری چندهدفه‌ی نمودار کنترل RACUSUM و دست‌یابی به بهترین ترکیب ممکن از پارامترهای طراحی، الگوریتم حل اجرا شد. لازم به ذکر است، تمامی محاسبات تحت برنامه‌های کد شده در محیط MATLAB نسخه ۲۰۱۶ تسهیل شد پس از

۲.۴. مقایسه‌ی طراحی چندهدفه‌ی نمودار کنترل RACUSUM با طراحی خالص اقتصادی آن

به منظور تأیید اثربخشی مدل طراحی اقتصادی آماری چندهدفه‌ی پیشنهادی در این مقاله، یک مقایسه بین این مدل و طراحی خالص اقتصادی که فقط تابع هزینه را در نظر می‌گیرد انجام گرفت. پارامترهای بهینه‌ی طراحی اقتصادی آماری چندهدفه و طراحی خالص اقتصادی در جدول ۴ نشان داده شده است.

با تمرکز بر اطلاعات داخل جدول ۴ مشخص است که هزینه‌ی انتظار هر واحد

به اجرا درآمد. لازم به ذکر است که به منظور کمینه‌سازی خطاهای، شبیه‌سازی ۱۰۰۰۰ بار تکرار شد. برای هر ترکیب از پارامترهای طراحی، بدون در نظر گرفتن تغییری در ارزش‌های ARL، محاسبه شد و همچنین، برای زمانی که به سبب وجود انحراف با دلیل انسانی ۹۵٪ کاهش در زمان بقا وجود داشت، ارزش‌های ARL ثبت شد. به منظور جلوگیری از نزخ رخدادهای بالای هشدار اشتباہی و دست‌یابی به قدرت قابل قبول کشف تغییر، حد پایین ARL برابر با ۲۰ و حد بالای ARL با ۵ در نظر گرفته شد. علاوه بر این، حدودی روی دو پارامتر طراحی اعمال شد که شرایط آن در الگوریتم حل شرح داده شد. با این حال، دست‌یابی به هزینه‌ی انتظار هر واحد زمانی مربوط به استفاده از نمودار کنترل RACUSUM در مرکز جراحی قلب ممکن خواهد شد. در نهایت، به منظور بهینه‌سازی مدل اقتصادی - آماری چندهدفه‌ی نمودار کنترل RACUSUM و دست‌یابی به بهترین ترکیب ممکن از پارامترهای طراحی، الگوریتم حل اجرا شد. لازم به ذکر است، تمامی محاسبات تحت برنامه‌های کد شده در محیط MATLAB نسخه ۲۰۱۶ تسهیل شد پس از این که ۱۰۰۰ راه حل بالقوه به صورت ترکیب (LCL, v) مشخص شد، با استفاده از محدودیت‌های آماری راه حل‌های غیرممکن کنار گذاشته شد. سپس، از میان راه حل‌های باقیمانده، با استفاده از اصل پارتون ۳۶ راه حل به عنوان سطح پارتون یا راه حل‌های نامغلوب انتخاب شد. پس از مشخص شدن راه حل حل‌های نامغلوب، برای اولویت‌بندی آنها و انتخاب کاراترین راه حل یا همان پارامترهای طراحی برای استقرار نمودار کنترل RACUSUM از روش‌های DEA استفاده شد. در DEA هر ترکیب از پارامترهای طراحی یعنی (LCL, v)، به عنوان یک واحد تصمیم‌گیری در نظر گرفته شد. چون روش‌های DEA، واحد تصمیم‌گیری دارای کمترین مقدار ورودی و بیشترین مقدار خروجی را به عنوان واحد کارا انتخاب می‌کند، در این مطالعه

جدول ۴. مقایسه طراحی چندهدفه و طراحی خالص اقتصادی نمودار کنترل RACUSUM

ARL_1	ARL_0	E_A	(LCL, v)	طراحی
۲/۸۵۷	۴۹/۳۹۱	۱۴۵۷۰۹۸/۴۶	(-۰/۴۲, ۰/۰۴)	طراحی چندهدفه
۲/۷۷۹	۲۴/۰۴۱	۱۴۳۸۱۴۹/۵۲	(-۰/۲۴, ۰/۱۹)	طراحی اقتصادی خالص

یک طرفه است که برای کشف تغییرات کاهاشی در میانگین زمان بقای بیماران مورد توجه قرار گرفت. همچنین، در این نمودار برای تعدیل ریسک و غلبه بر مسئله‌ی ناهمگونی میان بیماران از مدل AFT و بیول استفاده شد که ارتباط بین ریسک‌های قبل از عمل روی زمان بقای هر بیمار را مشخص می‌کرد. هدف اصلی این مقاله، تعیین پارامترهای نمودار کنترل RACUSUM بود به‌گونه‌یی که خواص اقتصادی و آماری را به طور همزمان برآورده کند. با توجه به ثابت بودن اندازه نمونه و فاصله‌ی نمونه‌گیری، پارامترهای طراحی (LCL, v) به‌گونه‌یی تعیین شدند که بهترین مبادله‌ی معادل ممکن بین سه هدف اقتصادی و آماری مدل اتفاق یافتد. برای مشخص شدن پارامترهای طراحی بهینه از یک الگوریتم حل چندمرحله‌ی برآسان اصل بهینه‌سازی پارتو و روش‌های DEA استفاده شد. در DEA هر ترکیب از پارامترها به عنوان یک واحد تصمیم‌گیری در نظر گرفته شد و ترکیب بهینه‌ی پارامترهای نمودار کنترل RACUSUM با حضور یک انحراف با دلیل را به‌طور قابل ملاحظه‌ی بهبود داد.

در این نوشتار به دلیل گستره بدن فضای مسئله از رویکردی گستته برای حل مدل پیشنهادی استفاده شده است که در صورت افزایش ابعاد و پیوسته شدن فضا، این رویکرد ناکارآمد خواهد بود و به عنوان پیشنهادی برای تحقیقات آتی می‌توان از روش‌های فراابتکاری توسعه یافته مانند الگوریتم ژنتیک با مرتب‌سازی نامغلوب استفاده کرد. همچنین، طراحی اقتصادی آماری دیگر نمودارهای کنترل تعدیل ریسک شده مانند نمودار میانگین متحرک موزون نمایی می‌تواند گسترش داده شود.

زمانی طراحی اقتصادی آماری چندهدفه با مقدار ۱۴۵۷۰۹۸/۴۶ ریال، در مقایسه با هزینه‌ی انتظار هر واحد زمانی طراحی خالص اقتصادی با مقدار ۱۴۳۸۱۴۹/۵۲ ریال، به میزان ۳/۱ درصد افزایش یافته است. با این حال، این افزایش در هزینه باعث می‌شود که ARL_1 طراحی اقتصادی آماری چندهدفه با مقدار ۴۹/۳۹۱ در مقایسه با ARL_0 طراحی خالص اقتصادی با مقدار ۲۴/۰۴۱، به میزان تقریباً ۱۰۰٪ افزایش یابد. همچنین، در این شرایط بین ARL_1 برای هر دو نوع طراحی مقاومت چشم‌گیری وجود ندارد. نتیجه‌ی این مقایسه نشان می‌دهد که با افزایش نسبتاً کمی در هزینه‌ی انتظار هر واحد زمانی، ARL_0 به طور قابل ملاحظه‌یی افزایش یافته است. این امر بدان معناست که با استفاده از طراحی اقتصادی آماری چندهدفه می‌توان با افزایش کمی در هزینه‌ی انتظار هر واحد زمانی، عملکرد آماری نمودار کنترل RACUSUM در حضور یک انحراف با دلیل را به‌طور قابل ملاحظه‌ی بهبود داد.

شایان ذکر است در صورتی که در مرکز جراحی به طراحی چندهدفه و طراحی خالص اقتصادی نمودار کنترل توجهی نشود و حالتی در نظر گرفته شود که بدون طراحی نمودار، پارامترهایی با مقادیر $v = -۰/۰۲$ و $LCL = ۰/۱۷$ انتخاب شوند، هزینه‌ی انتظار هر واحد زمانی برابر با ۱۵۹۵۶۸۹/۹۳ ریال و شاخص‌های آماری $ARL_1 = ۲/۸۹۳$ و $ARL_0 = ۲/۵۲۸$ خواهد بود. از این‌رو مشخص است که طراحی چندهدفه در مقایسه با این حالت، کاهش ۸/۹ درصد در هزینه‌ی انتظار، افزایش ۱۰٪ در ARL_1 و کاهش ۱/۲ درصد در ARL_0 را نشان می‌دهد. همچنین، مقایسه‌ی طراحی خالص اقتصادی با این حالت، کاهش ۹/۹٪ در هزینه‌ی انتظار، افزایش ۲/۲ درصد در ARL_0 و کاهش ۳/۹ درصد در ARL_1 را به همراه دارد.

۵. نتیجه‌گیری

در این مقاله، مدل طراحی چندهدفه نمودار کنترل RACUSUM برای پایش خروجی‌ها در سیستم‌های سلامت پیشنهاد شد. این مدل، تحت تأثیر یک انحراف با دلیل قرار داشت که ناشی از خطاهای انسانی بوده و باعث ایجاد تغییرات کاهاشی در زمان بقای بیماران می‌شد. از این‌رو، نمودار کنترل طراحی شده یک نمودار

پابنوشت‌ها

1. cumulative sum (CUSUM)
2. risk-adjusted cumulative sum
3. in-control average run length (ARL₀)
4. out-of-control average run length (ARL₁)
5. pareto principle

6. data envelopment analysis
7. accelerated failure time (AFT)
8. Charnes, Cooper & Rhodes (CCR)
9. Banker, Charnes & Cooper (BCC)
10. coronary artery bypass grafting
11. morbidity
12. mortality

منابع (References)

1. Woodall, W.H., Fogel, S.L. and Steiner, S.H. "The monitoring and improvement of surgical-outcome quality", *J. Qual. Technol.*, **47**(4), pp. 383-399 (2015).
2. Duncan, A.J. "The economic design of \bar{X} charts used to maintain current control of a process", *J. Am. Stat. Assoc.*, **51**(274), pp. 228-242 (1956).
3. Lorenzen, T.J. and Vance, L.C. "The economic design of control charts: a unified approach", *Technometrics*, **28**(1), pp. 3-10 (1986).
4. Jiao, J.R. and Helo, P.T. "Optimization design of a CUSUM control chart based on Taguchi's loss function", *Int. J. Adv. Manuf. Tech.*, **35**(11-12), pp. 1234-1243 (2008).
5. Lee, M.H. "Economic design of cumulative sum control charts for monitoring a process with correlated samples", *Commun. Stat-Simul. C*, **39**(10), pp. 1909-1922 (2010).
6. Celano, G., Castagliola, P. and Trovato, E. "The economic performance of a CUSUM t control chart for monitoring short production runs", *Qual. Technol. Quant. M*, **9**(4), pp. 329-354 (2012).
7. Saniga, E.M. "Economic statistical control chart designs with an application to \bar{X} and R charts", *Technometrics*, **31**(3), pp. 313-320 (1989).
8. Asadzadeh, S. and Khoshalhan, F. "Multiple-objective design of an \bar{X} control chart with multiple assignable causes", *Int. J. Adv. Manuf. Tech.*, **43**(3-4), pp. 312-322 (2009).
9. Niaki, S.T.A., Malaki, M. and Ershadi, M.J. "A particle swarm optimization approach on economic and economic-statistical designs of MEWMA control charts", *Sci. Iran.*, **18**(6), pp. 1529-1536 (2011).
10. Rasmussen, T.B., Ulrichsen, S.P. and Nørgaard, M. "Use of risk-adjusted CUSUM charts to monitor 30-day mortality in Danish hospital", *J. Clin. Epidemiol.*, **10**, pp. 445-456 (2018).
11. Harris J.R., Forbes, T.L., Steiner, S.H. and et al. "Risk-adjusted analysis of early mortality after ruptured abdominal aortic aneurysm repair", *J. Vasc. Surg.*, **42**(3), pp. 387-391 (2005).
12. Keefe, M.J., Loda, J.B., Elhabashy, A.E. and et al. "Improved implementation of the risk-adjusted Bernoulli CUSUM chart to monitor surgical outcome quality", *Int. J. Qual. Health. C*, **29**(3), pp. 343-348 (2017).
13. Tzeng, G.H. and Huang, J.J. "Fuzzy multiple objective decision making", CRC Press (2013).
14. Liu, H.H., Song, Y.Y. and Yang, G.L. "Cross-efficiency evaluation in data envelopment analysis based on prospect theory", *Eur. J. Oper. Res.*, **273**(1), pp. 364-375 (2019).
15. Chowdhury, H. and Zelenyuk, V. "Performance of hospital services in Ontario: DEA with truncated regression approach", *Omega*, **63**, pp. 111-122 (2016).
16. Omrani, H., Keshavarz, M. and Ghaderi, S.F. "Evaluation of supply chain of a shipping company in Iran by a fuzzy relational network data envelopment analysis model", *Sci. Iran.*, **25**(2), pp. 868-890 (2018).
17. Sego, L.H., Reynolds, M.R. and Woodall, W.H. "Risk-adjusted monitoring of survival times", *Stat. Med.*, **28**(9), pp. 1386-1401 (2009).
18. Asadzadeh, S. and Baghaei, A. "Robust AFT-based monitoring procedures for reliability data", *Qual. Technol. Quant. M*, **17** (1), pp. 1-15 (2020).
19. Asadzadeh, S. and Aghaie, A. "Improving the product reliability in multistage manufacturing and service operations", *Qual. Reliab. Eng. Int.*, **28**(4), pp. 397-407 (2012).
20. Deb, K., Pratap, A., Agarwal, S. and et al. "A fast and elitist multiobjective genetic algorithm", *IEEE T. Evolut. Comput.*, **6**(2), pp. 182-197 (2002).
21. Noghin, V.D., *Reduction of the Pareto Set. An Axiomatic Approach*, Springer Int. Publishing AG (2018).
22. Charnes, A., Cooper, W.W. and Rhodes, E. "Measuring the efficiency of decision making units", *Eur. J. Oper. Res.*, **2** (6), pp. 429-444 (1978).
23. Bernstein, A.D. and Parsonnet, V. "Bedside estimation of risk as an aid for decision-making in cardiac surgery", *Ann. Thorac. Surg.*, **69**(3), pp. 823-828 (2000).

الف) در این قسمت نحوه تبدیل رابطه‌ی ۹ به رابطه‌ی ۱۰ نشان داده شده است:

ب) با فرض این که فرایند در حالت تحت کنترل شروع به کار می‌کند، مدت زمانی که فرایند تحت کنترل باقی می‌ماند یک متغیر تصادفی نمایی با میانگین $1/\lambda$ ساعت خواهد بود. بنابراین، اگر انحراف با دلیل بین نمونه‌های $i+1$ و i ظاهر شود آنگاه زمان انتظاری یا متوسط برای مشاهده آن در این فاصله برابر خواهد بود با:

$$\tau = \frac{\int_{ih}^{(i+1)h} e^{-\lambda\psi} \lambda(\psi - ih)d\psi}{\int_{ih}^{(i+1)h} e^{-\lambda\psi} \lambda d\psi} = \frac{1 - (1 + \lambda \cdot h) \cdot e^{-\lambda \cdot h}}{\lambda \cdot (1 - e^{-\lambda \cdot h})}$$

$$\begin{aligned} W_i &= \log \frac{\left[\frac{\kappa}{v\eta \exp(\beta_1 x_i)} \left(\frac{z_i}{v\eta \exp(\beta_1 x_i)} \right)^{\kappa-1} \exp\left(-\left(\frac{z_i}{v\eta \exp(\beta_1 x_i)} \right)^\kappa\right) \right]^{\delta_i} [\exp\left(-\left(\frac{z_i}{v\eta \exp(\beta_1 x_i)} \right)^\kappa\right)]^{1-\delta_i}}{\left[\frac{\kappa}{\eta \exp(\beta_1 x_i)} \left(\frac{z_i}{\eta \exp(\beta_1 x_i)} \right)^{\kappa-1} \exp\left(-\left(\frac{z_i}{\eta \exp(\beta_1 x_i)} \right)^\kappa\right) \right]^{\delta_i} [\exp\left(-\left(\frac{z_i}{\eta \exp(\beta_1 x_i)} \right)^\kappa\right)]^{1-\delta_i}} \\ &= \delta_i \log \left[\frac{\kappa}{v\eta \exp(\beta_1 x_i)} \left(\frac{z_i}{v\eta \exp(\beta_1 x_i)} \right)^{\kappa-1} \exp\left(-\left(\frac{z_i}{v\eta \exp(\beta_1 x_i)} \right)^\kappa\right) \right] - (1 - \delta_i) \left(\frac{z_i}{v\eta \exp(\beta_1 x_i)} \right)^\kappa \\ &\quad - \delta_i \log \left[\frac{\kappa}{\eta \exp(\beta_1 x_i)} \left(\frac{z_i}{\eta \exp(\beta_1 x_i)} \right)^{\kappa-1} \exp\left(-\left(\frac{z_i}{\eta \exp(\beta_1 x_i)} \right)^\kappa\right) \right] + (1 - \delta_i) \left(\frac{z_i}{\eta \exp(\beta_1 x_i)} \right)^\kappa \\ &= \delta_i \log \left(\frac{\kappa}{v\eta \exp(\beta_1 x_i)} \right) + (\kappa - 1)\delta_i \log \left(\frac{z_i}{v\eta \exp(\beta_1 x_i)} \right) - \delta_i \left(\frac{z_i}{v\eta \exp(\beta_1 x_i)} \right)^\kappa - \left(\frac{z_i}{v\eta \exp(\beta_1 x_i)} \right)^\kappa + \delta_i \left(\frac{z_i}{v\eta \exp(\beta_1 x_i)} \right)^\kappa \\ &\quad - \delta_i \log \left(\frac{\kappa}{\eta \exp(\beta_1 x_i)} \right) - (\kappa - 1)\delta_i \log \left(\frac{z_i}{\eta \exp(\beta_1 x_i)} \right) + \delta_i \left(\frac{z_i}{\eta \exp(\beta_1 x_i)} \right)^\kappa + \left(\frac{z_i}{\eta \exp(\beta_1 x_i)} \right)^\kappa - \delta_i \left(\frac{z_i}{\eta \exp(\beta_1 x_i)} \right)^\kappa \\ &= \delta_i \log \kappa - \delta_i \log v\eta \exp(\beta_1 x_i) + (\kappa - 1)\delta_i \log z_i - (\kappa - 1)\delta_i \log v\eta \exp(\beta_1 x_i) - \frac{1}{v^\kappa} \left(\frac{z_i}{\eta \exp(\beta_1 x_i)} \right)^\kappa \\ &\quad - \delta_i \log \kappa + \delta_i \log \eta \exp(\beta_1 x_i) - (\kappa - 1)\delta_i \log z_i + (\kappa - 1)\delta_i \log \eta \exp(\beta_1 x_i) + \left(\frac{z_i}{\eta \exp(\beta_1 x_i)} \right)^\kappa \\ &= -\delta_i \log v\eta \exp(\beta_1 x_i) - (\kappa - 1)\delta_i \log v\eta \exp(\beta_1 x_i) - v^{-\kappa} \left(\frac{z_i}{\eta \exp(\beta_1 x_i)} \right)^\kappa \\ &\quad + \delta_i \log \eta \exp(\beta_1 x_i) + (\kappa - 1)\delta_i \log \eta \exp(\beta_1 x_i) + \left(\frac{z_i}{\eta \exp(\beta_1 x_i)} \right)^\kappa \\ &= -\delta_i \log v - \delta_i \log \eta - \delta_i(\beta_1 x_i) - (\kappa - 1)\delta_i \log v - (\kappa - 1)\delta_i \log \eta - (\kappa - 1)\delta_i(\beta_1 x_i) \\ &\quad + \delta_i \log \eta + \delta_i(\beta_1 x_i) + (\kappa - 1)\delta_i \log \eta + (\kappa - 1)\delta_i(\beta_1 x_i) + \left[\left(\frac{z_i}{\eta \exp(\beta_1 x_i)} \right)^\kappa (1 - v^{-\kappa}) \right] \\ &= -\delta_i \log v - (\kappa - 1)\delta_i \log v + \left[\left(\frac{z_i}{\eta \exp(\beta_1 x_i)} \right)^\kappa (1 - v^{-\kappa}) \right] \\ &= [(1 - v^{-\kappa}) \left(\frac{z_i}{\eta \exp(\beta_1 x_i)} \right)^\kappa] - \delta_i \kappa \log v \end{aligned}$$